



240.- Caliza de Vegadeo (CA_{1-2}^c)
en el flanco normal del sin-
clinal de Baralla.



241.- Bancos de dolomias amarillentas (CA₁d) a muro de la Caliza de Végadeo (CA₁₋₂c).



242.- Idem.



243.- Ripple-marks en las pizarras
y areniscas superiores de las
Capas de Tránsito (CA_1P_2).



244.- Caliza gris (c) en la parte
media de las Capas de Trán-
sito (CA_1P_2).



246.- Banco de caliza gris (c) en la parte inferior de las Capas de Tránsito (CA_1P_2).



247.- En primer plano caliza dolomítica y en segundo calcoesquistos dolomíticos. Techo de la Caliza de Vegadeo. (CA₁₋₂^c).



248.- Caliza parcialmente dolomitizada, cercana al techo de la Caliza de Vegadeo (CA₁₋₂^c). Cantera de Vilaestevä.



249.- Bandeado irregular en la
Caliza de Vegadeo (CA₁₋₂^c).
Cantera de Vilaesteva.



250.- Idem.



251.- Caliza de Vegadeo (CA_{1-2}^c).
Cantera de Vilaesteva.



252.- Laminación paralela y lenticular en las Capas de Riotorto (CA₂₋₃).



253.- Areniscas y pizarras de las
Capas de Riotorto (CA₂₋₃).

Se puede observar una marca
da laminación paralela.



254.- Laminación lenticular en el
muro de las Capas de Villa-
mea ($CA_{2-3-0\frac{1}{12}}$).



255.- Laminación ondulante (Wavy).

Capas de Villamea (CA₂₋₃⁻⁰₁₂¹).



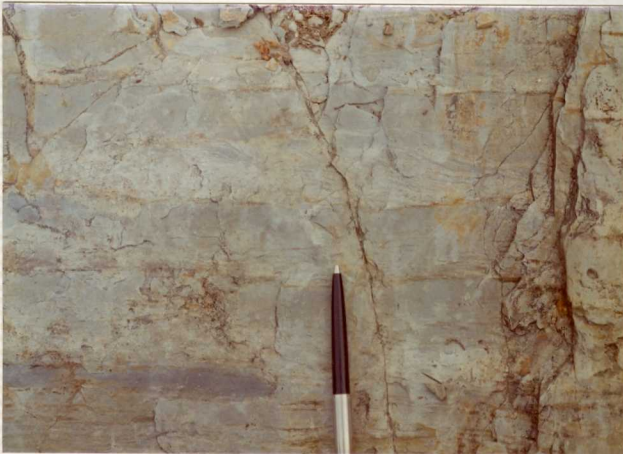
262.- Pizarras de Candana (CA₁P₁)



263.- Crestones formados por la Cuarcita de Candana Superior (CA_1q_2).



264.- Estratificación cruzada en
la Cuarcita de Candana su-
perior (CA₁q₂). Secuencia
normal.



267.- Aspecto de detalle de la Serie de Villalba (PC ξ + ξ A). Se observan cinco ciclos incompletos de la Serie de Bouma.



268.- Estructuras flasher y "wavy lamination" en la Cuarcitas de Candana inferior (CA_1q_1)



269.- Parte alta de la Cuarcita
de Candana inferior
(CA₁q₁).



270.- Caliza de Candana (CA_{1c}).



275.- Caliza de Candana con laminación paralela (CA_{1c}).



278.- Vista de la Cuarcita de Candana superior en el flanco inverso del sinclinal de Barralla (CA₁q₂).



279.- Intercalaciones cuarcíticas
en la parte superior de la
Serie de Villalba (PCξ+ξA).



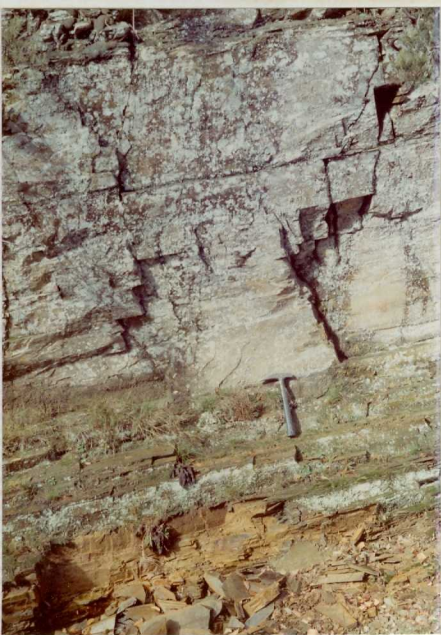
280.- Intercalaciones cuarcíticas
en la parte superior de la
Serie de Villalba (PC ξ + ξ A).



282.- Laminación paralela en la
Serie de Villalba. (PC ξ + ξ A)



283.- Laminación paralela en la
Serie de Villalba. (PCξ+ξα)



686.- Pizarras de Candana, por
debajo de la Caliza de Can
dana (CA₁P₁).



293.- Vista general de la Serie de
Villalba. (PCξ+ξA).



295.- Caliza de Vegadeo (CA_{1-2c}) en el sinclinal de Baralla. Flanco inverso en el plano medio de la fotografía.



296.- Capas de Villamea ($CA_{2-3-0}^{1}_{12}$)
en el centro del sinclinal
de Baralla.



298. - Idem.



301.- Vista de la Caliza de Vega-
deo en la parte SE de la Ho
ja, donde alcanza una poten̄
cia superior a 150 m.
(CA₁₋₂^c).



303.- Aspecto de la Serie de Villalba (PC ξ + ξ A) con metamorfismo elevado en un enclave dentro del granito de dos micas:



308.- Caliza de Candana (CA₁c).
Cantera de Cadamonte.¹



310.- Caliza de Candana (CA_{1c})
Cantera de Buxan.



312.- Vista de la explotación de
magnesitas de Vila de Mou-
ros. (CA_1mg).



313.- Vista de la explotación de magnesitas de Vila de Mouros. (CA_{1mg}).



314.- Vista de la Caliza de Vega-
deo (CA₁₋₂^c).



315.- Banded in the Caliza de Vegadeo (CA₁₋₂c).



321.- Cantera de Vila de Mouros.
Magnesita de Candana
(CA₁mg).



324.- Canteras pequeña de Santalla.
Nivel satélite (mg) de la
Magnesita de Candana por en
cima del nivel principal
(CA₁mg).



325.- Cantera de Santalla. Nivel principal de Magnesita de Candana (CA₁mg).



326.- Idem anterior. Vista del plano de estratificación don de se observan los anfíboles desordenados.



327.- Nivel de neis anfibólico, a
techo del nivel principal de
Magnesita de Candana. Obser-
vese bandeado de origen pro-
bablemente metamórfico(CA₁p₁).



331.- Paleocanal relleno de gra-
vas en los depósitos tercia
rios.



332.- Caliza margosa blanca. Te-
cho del miembro Armea (Tm).



333.- Nivel calcomargoso blanco
sobre arcillas rojas con
vetas verdes. Miembro Armea
(Tm).



334.- Corte del aluvial del río
Pequeño.



335.- Ampelitas (ap) de las Capas
de Tránsito (CA₁P₂).



336.- Capas de Villamea (CA_{2-3-0}^{1-12});
alteradas a tonalidades roji-
zas.



338.- Nivel de lidita, silúrico (S). Se observa laminación paralela.



339.- Ampelitas silúricas (S).



343.- Corte de los materiales silúricos (S).



349.- Cuarcita Armoricana (0_{12}^2).



350.- Pizarras de Luarca (O_{2-3}).



351.- Pizarras de Luarca (O_{2-3})
con una marcada esquistosidad de tipo strain-slip.



352.- En primer plano pizarras del
Silúrico (S), al fondo la
Cuarcita Armoricana (0²₁₂).



666.- Corte del Terciario de Castillo de los Infantes (Ta). Se observa una alternancia de arenas y gravas con algún nivel arcilloso.



667.- Discordancia entre los depósitos terciarios y la Serie de Villalba.



668.- Contacto entre coluvión (Q_2c)
y pizarras de la Serie Villala
ba.



669.- Paleocanchal.



670.- Coluvión (Q_2c) compuesto por una alternancia de niveles de cantos de pizarra con matriz arcillo-arenosa y otros arcillo-limo-arenosos.



673.- Corte de los depósitos de
borde de la cuenca tercia
ria.



674.- Detalle de la anterior.



675.- Depósitos de borde de cuenca, sobre arcillas.



676.- Detalle de los depósitos de borde de la cuenca terciaria. Cabe destacar el enorme bloque anguloso de cuarzo que engloban.



678.- Coluvión (Q_2C) formado a expensas de los depósitos Pliocuaternarios.



679.- Arcillas algo margosas muy compactas. Miembro Armea (Tm).



680.- Capas de arcillas margosas
rojas que dan resalte. Miembr
o Armea (Tm).



682.- Cicatriz erosiva entre los depósitos pliocuaternarios (T_2^B -Q) y el miembro Fuenteabuín (Ta).



683.- Detalle de la anterior. Observe el caracter arenoso de los depósitos que rellenan los pequeños paleocanales.

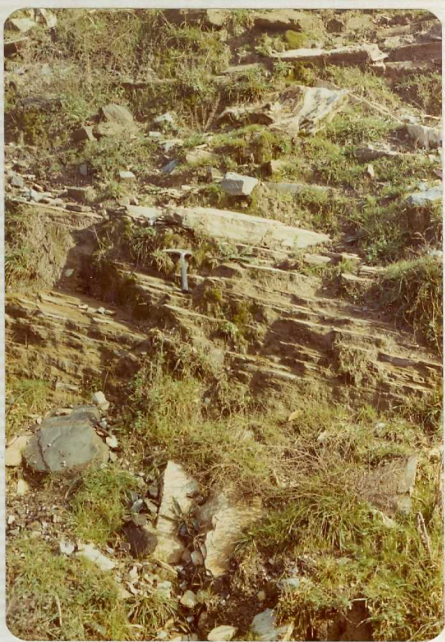


684.- Materiales que componen el
depósito pliocuaternario.

(T₂^B-Q).



685.- Corte del techo de los materiales del miembro Fuenteabuín (Ta). En la base gravas de cuarcita y pizarra. El resto, materiales arcillo-arenosos.



687.- Pizarras, calcoesquistos y dolomías por debajo de la Caliza de Candana (CA_1P_1).



688.- Cantera de Cadamonte. Caliza de Candana con niveles de ampelitas a techo (CA_{1c}).



689.- Nivel calcáreo (c) intercalado en las ampelitas de las Capas de Tránsito (CA₁P₂).



690.- Arenisca con laminación paralela, en la Cuarcita de Candana Superior (CA₁q₂).



692.- Laminación paralela en la parte superior de las Pizarras de Candana (CA₁P₁)



693.- Pizarras grises de la parte inferior de las Capas de Tránsito (CA₁P₂)



696.- Resaltes morfológicos que destacan la estratificación. Capas de Villamea (CA₂₋₃₋₀¹₁₂) en el embalse de Vilasouto.



720.- Lentejón de gravas de cuarci
ta y pizarra con una cierta
orientación intercalado en
las arcillas del miembro
Fuenteabuín (Ta).



721.- Terraza de +6-8 m. del río
Sarria (Q_1T_2)



722.- Detalle de la anterior. Obsérvase la alternancia de arenas, gravas y gravillas fundamentalmente de cuarzo y cuarcita.



723.- Detalle de tubo relleno correspondiente a un organismo perforante, situado en el nivel margo-carbonatado anterior (Ta).



724.- Nivel margo-carbonatado de
caracter local que se situa
a techo del miembro Fuentea
buín (Ta).



725.- Detalle de las gravas plio-
cuaternarias (T_2^B-Q)



726.- Detalle de la anterior.



727.- Potente suelo desarrollado
sobre los materiales plio-
cuaternarios.



738.- Paleocanchal. Fossilizándose,
suelo vegetal actual.



740.- Arcillas con lentejones de cantos de pizarra con matriz arcillo-arenosa. Miembro Fuenteabuñ (Ta).



741.- Contacto netamente discordante entre la facies de borde terciaria y la Serie de Villalba.



743.- Paleocanal relleno por depósitos terciarios groseros excavado sobre las pizarras de la Serie de Villalba.



695.- Laminación gradada y paralela en la Serie de Villalba. (PC ξ + ξ A). La Serie está normal.